

КРАТКИЕ СООБЩЕНИЯ

УДК 577.352.465

СТРУКТУРА И ИОННАЯ ИЗБИРАТЕЛЬНОСТЬ ОТКРЫТОГО ПОТЕНЦИАЛ-ЗАВИСИМОГО КАЛИЕВОГО КАНАЛА

© 2007 А. В. Дмитриев<sup>1</sup>\*, И. В. Марков<sup>1</sup>, В. А. Твердислов<sup>2</sup>

<sup>1</sup>Липецкий филиал Орловской региональной академии государственной службы

<sup>2</sup>Московский государственный университет им. М.В. Ломоносова

Статья поступила 20 апреля 2006 г.

Проведено исследование структуры и ионной избирательности потенциал-зависимого калиевого канала. Показано, что канал построенный стыковкой  $\alpha$ -субъединицы с вогнутой поверхностью  $\beta$ -субъединицы при совпадении осей аксиальной симметрии является потенциал- зависимым калиевым каналом в открытом состоянии.

**Ключевые слова:** потенциал-зависимый калиевый канал,  $\beta$ -субъединица,  $\alpha$ -субъединица, ионная избирательность.

Потенциал-зависимые калиевые каналы биологических мембран играют важную роль в процессах возбудимости и проводимости клеток [ 1 ]. Инкрустированные в мемbrane, данные каналы формируются в виде комплекса двух субъединиц, так называемых  $\alpha$ - и  $\beta$ -субъединиц [ 2 ]. При этом интегральные мембранные  $\alpha$ -субъединицы определяют ионную избирательность потенциал-зависимых калиевых каналов,  $\beta$ -субъединицы определяют потенциал-чувствительность и инактивационные свойства калиевых каналов. В работе [ 3 ] была представлена структура  $\beta$ -субъединицы калиевого канала, определенная методом рентгеноструктурного анализа с разрешением 2,8 Å. Данная субъединица является аксиально-симметричным тетramerом, структурно-эквивалентным ферменту-оксиредуктазе, связанным с никотинамидным кофактором в активном сайте фермента. Кофакторы локализованы на расстоянии 30—35 Å от оси аксиальной симметрии  $\beta$ -субъединицы. Экспериментальные данные по структуре и локализации  $\alpha$ -субъединицы в потенциал-зависимом калиевом канале отсутствуют.

В нашей работе мы провели исследование структуры и ионной избирательности потенциал- зависимого калиевого канала, построенного в виде комплекса  $\alpha$ -субъединицы и  $\beta$ -субъединицы. При построении структуры канала мы исходили из предположения авторов работы [ 3 ], согласно которому оси аксиальной симметрии  $\alpha$ - и  $\beta$ -субъединиц совпадают. При этом  $\alpha$ -субъединица стыкуется с вогнутой поверхностью  $\beta$ -субъединицы (рис. 1). В качестве  $\alpha$ -субъединицы мы использовали аксиально-симметричный тетramer потенциал-независимого калиевого канала KCSA [ 4 ] как каноническую пороформирующую субъединицу трансмембранных калиевых каналов клетки.

Ионную избирательность построенного калиевого канала исследовали сравнением энергетических профилей ионов  $\text{Li}^+$ ,  $\text{Na}^+$  и  $\text{K}^+$  в поре канала. При этом энергетические профили ионов рассчитывали методом разделения дальних и близких взаимодействий в системе ион — аминокислота. Энергию близких взаимодействий рассчитывали расширенным методом Хюкеля в параметризации Вольфсберга—Гельмгольца [ 5 ], дальних — методом силового поля AMBER [ 6 ]. Обоснование и апробация данного метода для исследования ионной избирательности канала KCSA представлено в работах [ 7, 8 ]. Энергетические профили ионов рассчитывали с уч-

\* E-mail: avdmitriev@mail.ru

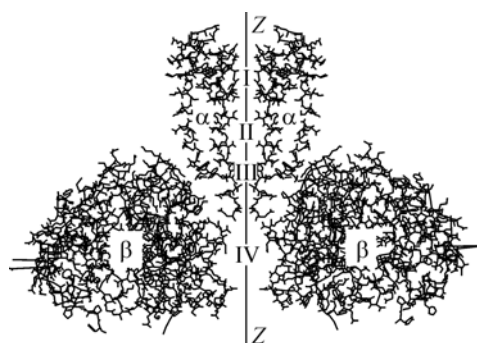


Рис. 1. Поперечный срез потенциал-зависимого калиевого канала: I — область селективного фильтра, II — центральной полости, III — нижней поры  $\alpha$ -субъединицы, IV — поры  $\beta$ -субъединицы, Z — ось аксиальной симметрии канала

вом эффективной константы диэлектрической проницаемости среды ( $\epsilon_{\text{eff}}$ ), моделирующей пору канала. В общем случае  $\epsilon_{\text{eff}} = \epsilon_{\text{eff}}(Z)$ , которая для аксиально-симметричных ионных каналов эквивалентна зависимости  $\epsilon_{\text{eff}} = \epsilon_{\text{eff}}(R)$ , где  $R$  — радиус поры канала. В качестве последней зависимости мы использовали функцию Буза [9], апробированную для различных ионных каналов.

Для большей наглядности энергетические профили ионов в поре потенциал- зависимого калиевого канала представлены для трех последовательных интервалов изменения координаты оси Z: области селективного фильтра и центральной полости  $\alpha$ -субъединицы (рис. 2, а), области нижней поры  $\alpha$ -субъединицы и поры  $\beta$ -субъединицы (см. рис. 2, б). Проникновение иона в канал возможно только в том случае, если энергии его взаимодействия с атомными группами канала достаточно для компенсации энергии частичной дегидратации данного иона. Энергия частичной дегидратации ионов  $\text{Li}^+$ ,  $\text{Na}^+$  и  $\text{K}^+$  составляет 49, 28 и 22 ккал/моль соответственно. Данные значения получены с учетом координации соответствующих ионов и конфигурации частично дегидратированного иона в селективном фильтре канала [9]. Для прохождения иона через другие области канала ему необходимо преодолеть энергетические барьеры, локализованные в области нижней поры  $\alpha$ -субъединицы. Запас энергии, необходимый для преодоления данных энергетических барьеров, дает трансмембранный потенциал. В приближении постоянного поля разность энергий иона между его конечным и начальным положением составляет -1 ккал/моль [7].

Сравнительный анализ энергетических профилей ионов  $\text{Li}^+$ ,  $\text{Na}^+$  и  $\text{K}^+$  позволяет объяснить исключительно калиевую избирательность исследуемого канала. Минимум потенциальной энергии иона  $\text{K}^+$ , локализованный в селективном фильтре канала, практически совпадает с величиной энергии частичной дегидратации данного иона. Высота энергетических барьеров для данного иона не превышает 0,1 ккал/моль, и такие барьеры вполне преодолимы за счет запаса энергии иона в трансмембранным потенциале. Для ионов  $\text{Li}^+$  и  $\text{Na}^+$  в силу того, что энергии взаимодействия с атомными группами канала недостаточно для компенсации энергий их частичных дегидратаций, невозможно их проникновение в канал через его селективный фильтр. Таким образом, построенная конфигурация потенциал- зависимого калиевого канала соответствует открытой для ионов  $\text{K}^+$  конфигурации канала.

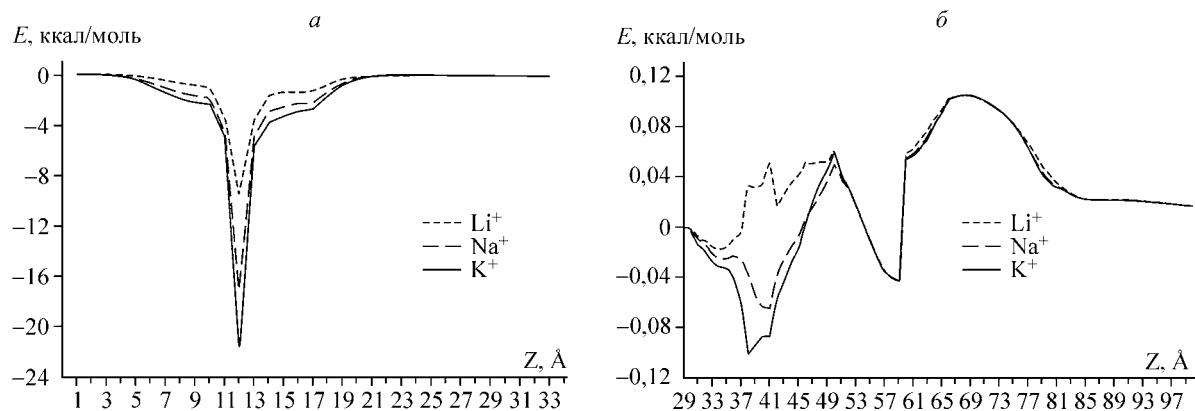


Рис. 2. Энергетические профили ионов  $\text{Li}^+$ ,  $\text{Na}^+$  и  $\text{K}^+$ : а — в области селективного фильтра и центральной полости  $\alpha$ -субъединицы, б — в области нижней поры  $\alpha$ -субъединицы и поры  $\beta$ -субъединицы

Работа выполнена при частичной финансовой поддержке Российского фонда фундаментальных исследований (грант 05-05-64974-а).

#### *СПИСОК ЛИТЕРАТУРЫ*

1. *Твердислов В.А., Тихонов А.Н., Яковенко Л.В.* Физические механизмы функционирования биологический мембран. – М.: Изд-во МГУ, 1987.
2. *Aidley D.J., Stanfield P.R.* Ion Channels. Molecule in Action. – Cambridge University Press, 1996.
3. *Gulbis J., Mann S., MacKinnon R.* // Cell. – 1999. – **97**. – Р. 943 – 952.
4. *Doyle D.A. et al.* // Science. – 1998. – **280**. – Р. 69 – 77.
5. *Минкин В.И., Симкин Б.Я., Миняев Р.М.* Теория строения молекул (электронные оболочки). – М.: Высшая школа, 1979.
6. *Cornell W.D. et al.* // J. Amer. Chem. Soc. – 1995. – **117**. – Р. 5179 – 5197.
7. *Дмитриев А.В., Твердислов В.А.* О возможности существования и структурных особенностях зеркального антиподы природной клетки. Препринт № 6/2005 Физического факультета МГУ им. М.В. Ломоносова. – М., 2005.
8. *Дмитриев А.В., Исаев П.П., Твердислов В.А.* // Журн. структур. химии. – 2006. – **47**. – С. 255 – 259.
9. *Laio A., Torre V.* // Biophys. J. – 1999. – **76**. – Р. 129 – 148.